

CAMPIONAMENTO

Un passo fondamentale nel digital signal processing (e, in particolare, nel controllo digitale) è il campionamento. Attraverso il campionamento si trasferisce l'informazione (presente in segnali a tempo continuo) in segnali a tempo discreto. Naturalmente, in generale, parte dell'informazione viene persa col campionamento. Tuttavia, se il segnale ha banda limitata e il campionamento è sufficientemente fitto allora il segnale campionato contiene tutta l'informazione del segnale originale.

Precisamente, se la frequenza di campionamento è almeno doppia rispetto alla banda del segnale, tutta l'informazione viene trasferita nel segnale campionato!

In pratica, nessun segnale ha banda limitata, tuttavia è frequente che la parte di segnale in alte frequenze

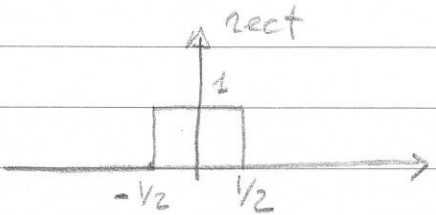
la cui informazione si perde con il campionamento, sia trascurabile. Per esempio, nei CD il campionamento è a 44100 Hz che conserva quasi tutta l'informazione percepibile dall'occhio umano.

- Campionamento e modulazione PAM

Consideriamo un segnale a tempo continuo $f(t)$

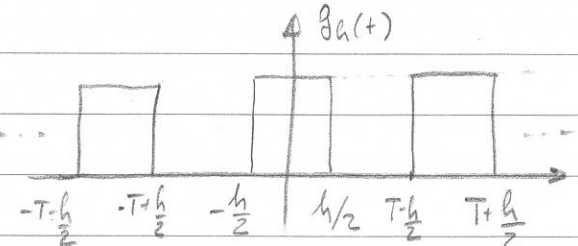
e moduliamo con un traino di impulsi rettangolari di area unitaria. Cioè siamo

$$\text{rect}(t) := \begin{cases} 1 & t \in [-\frac{1}{2}, \frac{1}{2}] \\ 0 & \text{altrimenti} \end{cases}$$



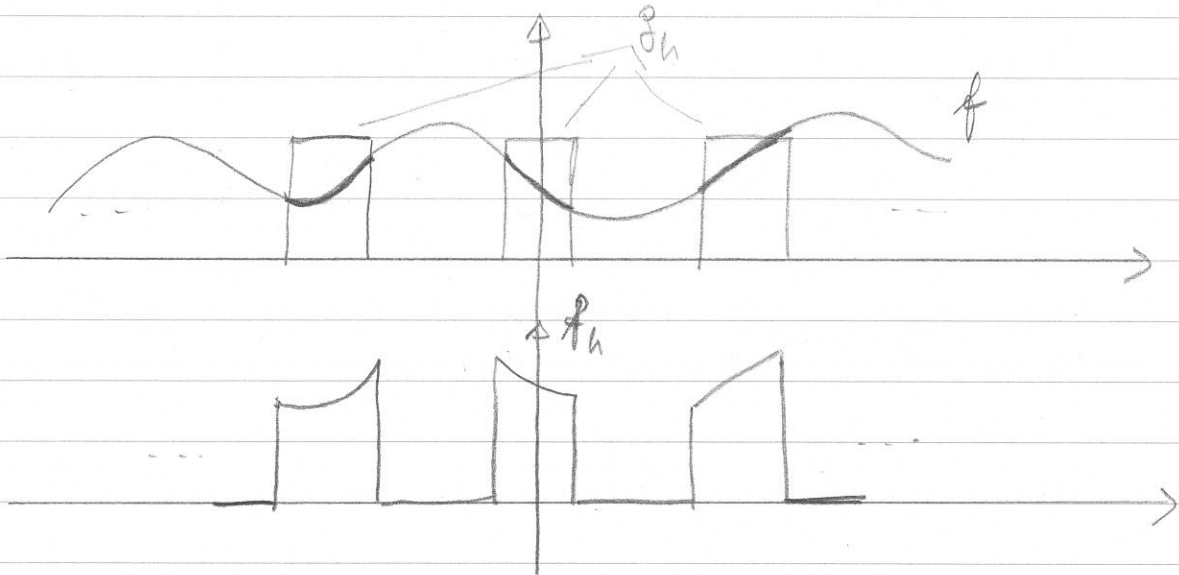
$$g_h(+)=\sum_{k=-\infty}^{+\infty} \frac{1}{h} \text{rect}\left(\frac{t-kT}{h}\right)$$

Segnale a pettine



Data $f(t)$ la $f_h^{(+)}$ modulata è

$$f_h^{(+)}) = f(t) \cdot g_h^{(+)}$$



Se $h \rightarrow 0$ allora $g_h \rightarrow g_d = \sum_{k=-\infty}^{+\infty} \delta(t - kT)$
DIRAC comb

quindi

$$f_h(t) \rightarrow f_d(t) = f(t) \sum_{k=-\infty}^{+\infty} f(t - kT) = \sum_{k=-\infty}^{+\infty} f(t) \delta(t - kT)$$

$$= \sum_{k=-\infty}^{+\infty} f(kT) \delta(t - kT)$$

$$= \sum_{k=-\infty}^{+\infty} \tilde{f}(k) \delta(t - kT), \quad \text{con } \tilde{f}(k) := f(kT)$$

È chiaro che $f_d(t)$ e $\tilde{f}(k)$ contengono la stessa informa-

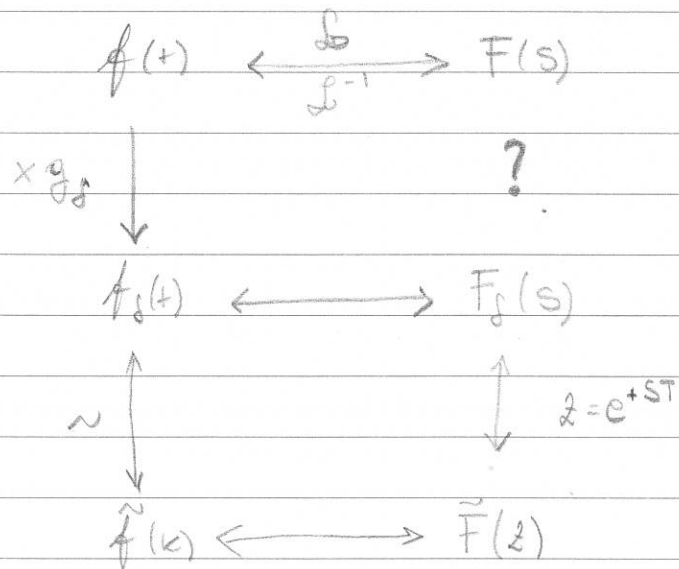
zione. Infatti, $f_d(t)$ è espresso in funzione di $\tilde{f}(k)$ e,

$$\text{viceversa, } \tilde{f}(k) = \int_{kT-\varepsilon}^{kT+\varepsilon} f_d(t) dt.$$

Che relazione c'è fra $\mathcal{L}[f_s(t)]$ e $\mathcal{Z}[\tilde{f}(z)]$

$$\begin{aligned}
 \mathcal{L}[f_s(t)] &= \int_0^{+\infty} [e^{-st} \sum_{k=0}^{\infty} \tilde{f}(k) f(t-kT)] dt \\
 &= \sum_{k=0}^{\infty} \tilde{f}(k) \underbrace{\int_0^{+\infty} e^{-st} f(t-kT) dt}_{= e^{-skT}} \\
 &= \sum_{k=0}^{\infty} \tilde{f}(k) (e^{+st})^k = \mathcal{Z}[\tilde{f}(k)](z) \quad \Big| z = e^{+st} \\
 &= \tilde{F}(z) \quad \Big| z = e^{+st}
 \end{aligned}$$

Abbiamo quindi lo schema seguente



Per capire il legame fra $f(t)$ e $f_s(t)$, la cosa migliore

è studiare il legame nel dominio delle frequenze.

$$\mathcal{F}_f(s) = \int_0^{+\infty} f(t) e^{-st} dt$$

$$= \int_0^{+\infty} f(t) g_f(t) e^{-st} dt$$

$$g_f(t) := \sum_{k=-\infty}^{+\infty} f(t-kT).$$

Posso espandere $g_f(t)$ in serie di Fourier:

$$g_f(t) = \sum_{l=-\infty}^{\infty} e^{j2\pi ft + l} a_l \quad f = \frac{1}{T}$$

$$= \sum_{l=-\infty}^{\infty} e^{j2\pi ft + l} a_l \quad \omega_L = 2\pi f = \frac{2\pi}{T}$$

I coefficienti di Fourier a_l sono dati da

$$a_l = \frac{1}{T} \int_{-T/2}^{T/2} g_f(t) e^{-j2\pi ft + l} dt = \frac{1}{T} \quad \forall l$$

$$\Rightarrow g_f(t) = \frac{1}{T} \sum_{l=-\infty}^{\infty} e^{j2\pi ft + l}$$

$$\Rightarrow f_f(t) = \frac{1}{T} \sum_{l=-\infty}^{+\infty} f(t) e^{j2\pi ft + l}$$

$$\Rightarrow F_f(s) = \frac{1}{T} \sum_{\ell=-\infty}^{+\infty} \int_0^{+\infty} f(t) e^{\underbrace{j\omega t}_{e^{-st}}} dt e^{-(s-j\omega \ell)t}$$

$$= \frac{1}{T} \sum_{\ell=-\infty}^{+\infty} F(s-j\omega \ell)$$

In particolare, vediamo che, nell'asse immaginario

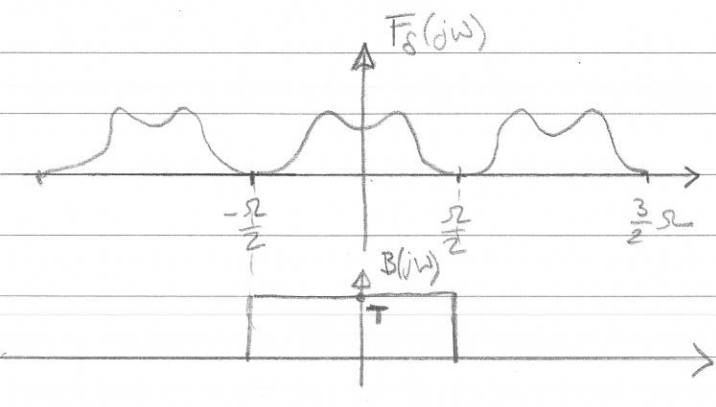
$$F_f(j\omega) = \frac{1}{T} \sum_{\ell=-\infty}^{+\infty} F(j\omega - j\omega \ell)$$

Dunque, $F_f(j\omega)$ è la ripetizione periodica
di periodo ω_0 di $F(j\omega)$ (e meno di $\frac{1}{T}$).

\Rightarrow Posso recuperare $F(j\omega)$ (e quindi $F(s)$) con

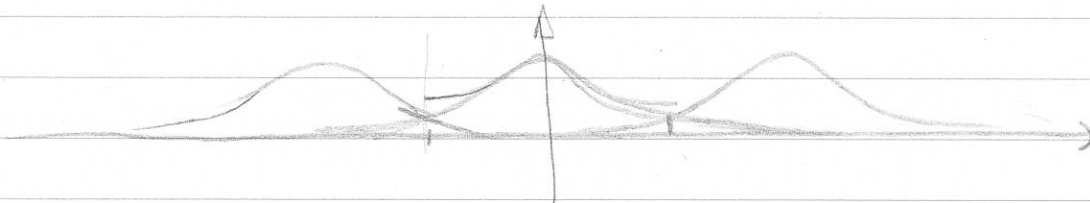
un passa-basso ideale se $F(j\omega)$ ha banda minore

$$\text{di } \frac{\omega_0}{2} = \frac{2\pi}{T} - \frac{\pi}{T},$$



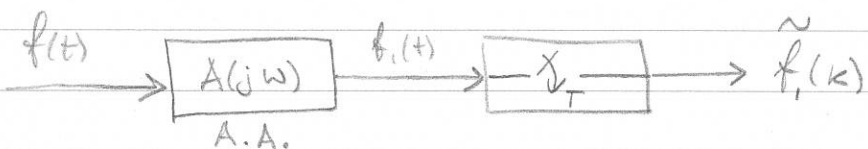
$$B(j\omega) := \begin{cases} 1 & |\omega| < \frac{\omega_0}{2} \\ 0 & |\omega| > \frac{\omega_0}{2} \end{cases}$$

Se invece la banda è maggiore di $\frac{\pi}{2} \Rightarrow$ c'è aliasing:



Filtro anti-aliasing

Per evitare (o almeno attenuare) l'aliasing che è sempre presente visto che i segnali non hanno mai banda perfettamente limitata, di solito si fa precedere il campionamento da un filtro passabasso (anti-aliasing) che elimina le alte frequenze:



Totalemente si vorrebbero eliminare completamente le frequenze

da sopra di $\left[\frac{\pi}{2}\right] = \left[\frac{\pi}{T}\right]$ e lasciare insieme le frequenze finiti a $\left[\frac{\pi}{2}\right]$:

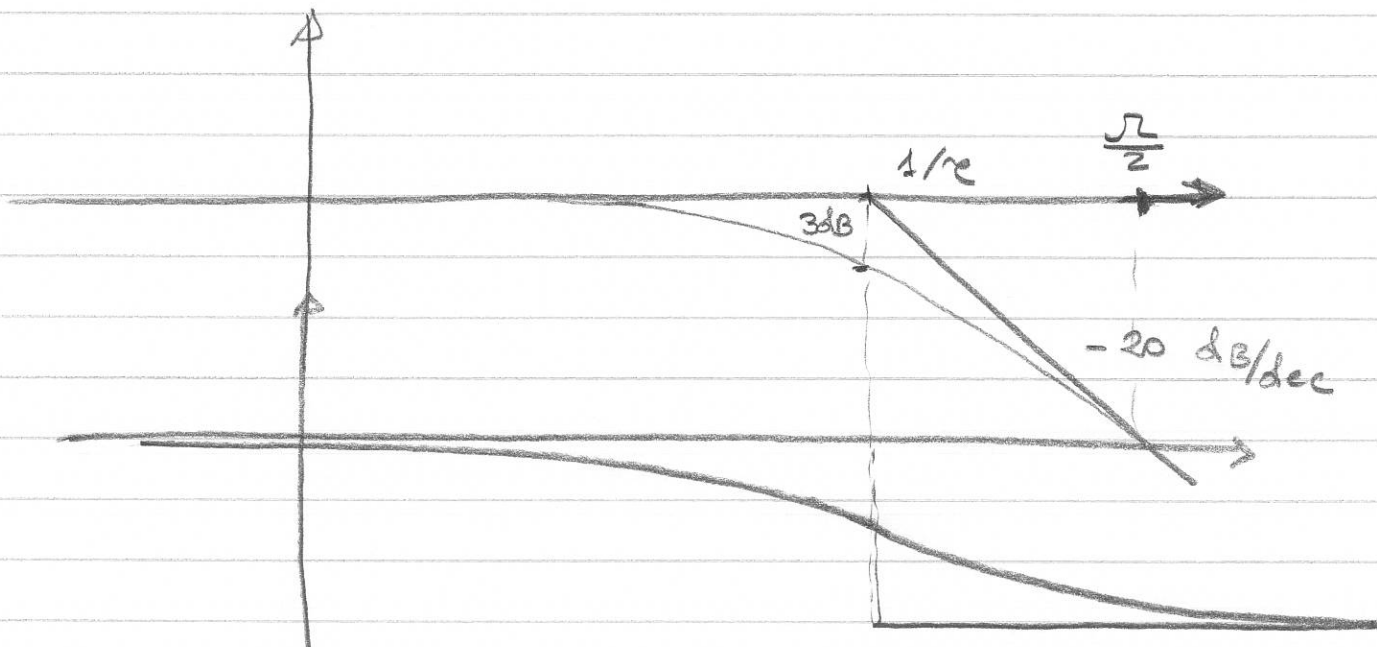
$$A(jw) = \begin{cases} 1 & |w| \leq \pi/2 \\ 0 & |w| > \pi/2 \end{cases}$$

In realtà, filtri di questo tipo non sono realizzabili: non sono nemmeno causali inoltre,

la loro risposta impulsiva è $\frac{d \sin(\omega t)}{t}$ che non è causale. Quindi si ricorre ad approssimazioni che non solo non eliminano completamente le frequenze al di sopra di $\frac{\pi}{2}$ ma introducono distorsioni e determinano la dinamica con ritardi di fase. In pratica si usano filtri del 1° o del 2° ordine.

Un filtro del 1° ordine ha la forma

$$A(s) = \frac{1}{1 + s\tau} \quad \tau > 0$$



La pulsazione di taglio $\frac{1}{\tau}$ viene scelta in modo che $\frac{1}{\tau} \ll \frac{\pi}{2}$ in modo da eliminare quasi del tutto le frequenze $> \frac{\pi}{2}$.

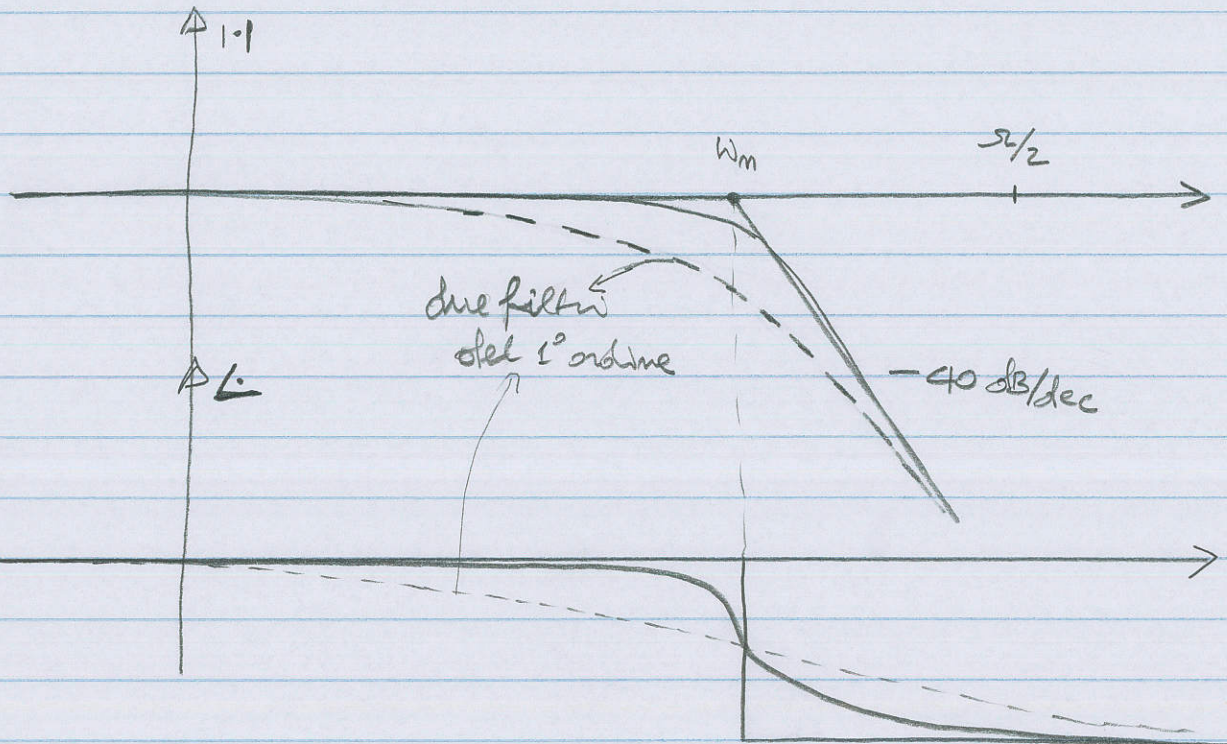
Questo filtro ha una pendenza asintotica modesta (20 dB/dec) e una transizione molto dolce verso questa pendenza (gradi a $\frac{1}{e}$ taglio di 3dB).

Inoltre, introduce un notevole ritardo di fase.

Più comunemente si usa un filtro del 2° ordine di Butterworth:

$$A(s) = \frac{1}{1 + 2\zeta \frac{s}{\omega_m} + \frac{s^2}{\omega_m^2}}$$

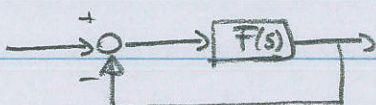
con $\zeta = \frac{\sqrt{3}}{2}$ (min. valore per cui il sugg. dei moduli è monotono). In questo modo il taglio è molto più brusco e anche se il ritardo di fase è meno elevato è più facile di ottenerlo.



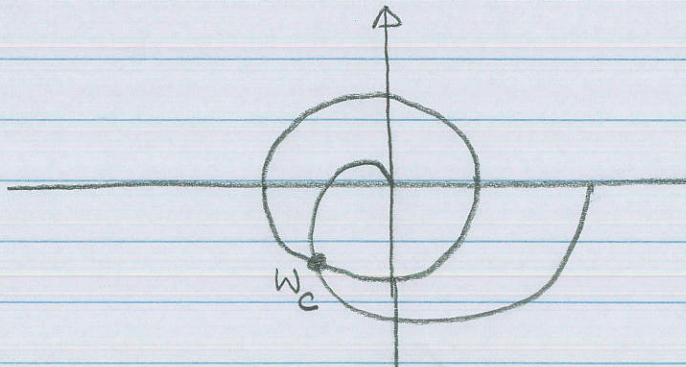
Questo filtro attenua i problemi del filtro del 1° ordine. Tuttavia, introduce anch'esso distorsioni e interidi in bande che possono essere mortali per la stabilità o il margine di fase (prontezza) del sistema a catena chiusa.

Esempio.

Consideriamo un sistema di controllo a catena chiusa.



con margine di fase m_q . Se il controllore è digitale e dobbiamo aggiungere un filtro anti-aliasing nella catena di controllo, ci serve ad avere un ritardo di fase che fa diminuire il margine di fase a $m_q - \Delta q$, dove Δq è il ritardo di fase introdotto dal filtro alla pulsazione di attraversamento w_c .



Vediamo come progettare la pulsazione di campionamento in funzione dell'attenuazione a desiderata alla pulsazione $\frac{\omega}{2}$ e al massimo ritardo di fase φ^* tollerato alla pulsazione w_c .

Supponiamo che

$$w_c \ll w_m \ll \frac{\omega}{2}$$

cosa che possiamo sempre avere scegliendo opportunamente filtri anti-aliasing e periodo di campionamento T .

1. Calcolo l'attenuazione

$$a = \frac{1}{|A(j\frac{\omega}{2})|} = \left| \frac{1 + 2j\frac{\omega}{2}}{w_m} - \frac{\omega^2}{4w_m^2} \right|$$

$$\approx \frac{\omega^2}{4w_m^2} \quad (\text{purché } \frac{\omega}{2} \gg w_m)$$

2. Calcola il ritardo introdotto dal filtro A.A.

a w_c :

$$\text{Arg}[A(jw_c)] = -\arctg \left[\frac{2\zeta w_c / w_m}{1 - \frac{w_c^2}{w_m^2}} \right]$$

$$\approx -2\zeta \frac{w_c}{w_m} \quad (\text{perché } w_m \gg w_c)$$

ritardo di fase introdotto
dal filtro a w_c

$$\Rightarrow \Delta\varphi \approx 2\zeta \frac{w_c}{w_m} \Rightarrow w_m \approx 2\zeta \frac{w_c}{\Delta\varphi}$$

$$\Rightarrow a \approx \frac{\omega^2}{\frac{16\zeta^2 w_c^2}{\Delta\varphi^2}}$$

$$\Rightarrow \frac{\omega^2}{w_c^2} \approx \frac{16\zeta^2 a}{\Delta\varphi^2} \Rightarrow \frac{\omega}{w_c} \approx \frac{4\zeta\sqrt{a}}{\Delta\varphi}$$

$$\Rightarrow \text{Se } \Delta\varphi < \varphi^* \Rightarrow \frac{\omega}{w_c} \geq \frac{4\zeta\sqrt{a}}{\varphi^*}$$

Dunque, fissati w_c , α e φ^* posso calcolare

le minime $\underline{\sigma}$. Poi fissa $w_m = \underline{\sigma}/2\sqrt{\alpha}$.

ESEMPIO

Voglio ottenere una di 20 dB ($\alpha=10$)

$$\text{e } \varphi^* = 0.1 \Rightarrow \frac{\underline{\sigma}}{w_c} > \frac{4\frac{\sqrt{2}}{2} \cdot \sqrt{10}}{0.1} \approx \frac{8}{0.1} = 80$$

Ancora sulla

Relazione fra $F_g(s)$ e $\tilde{F}(z)$

Abbiamo visto che

$$F_g(s) = \left. \tilde{F}(z) \right|_{z=e^{sT}}$$

La relazione

$$z = e^{sT}$$

mappa \mathbb{C} in \mathbb{C} e lega la dinamica del segnale campionato con quella del segnale continuo corrispondente.

Per esempio:

$$\begin{cases} q(t) = e^{at} \\ F(s) = \frac{1}{s-a} \end{cases} \Rightarrow \begin{aligned} \tilde{q}(k) &= (e^{aT})^k \\ \tilde{F}(z) &= \frac{z}{z - e^{aT}} \end{aligned}$$

Il polo in a di $F(s)$ è diventato un polo in e^{aT} di $\tilde{F}(z)$.

Più in generale per poli multipli:

$$\left\{ \begin{array}{l} f(t) = t^{l-1} e^{\omega_0 t} \\ F(s) = \frac{k}{(s - \omega_0)^l} \end{array} \right. \Rightarrow \hat{f}(k) = T^{l-1} k^{l-1} (e^{\omega_0 T})^k$$

$$\hat{F}(z) = \frac{N(z)}{(z - e^{\omega_0 T})^l}$$

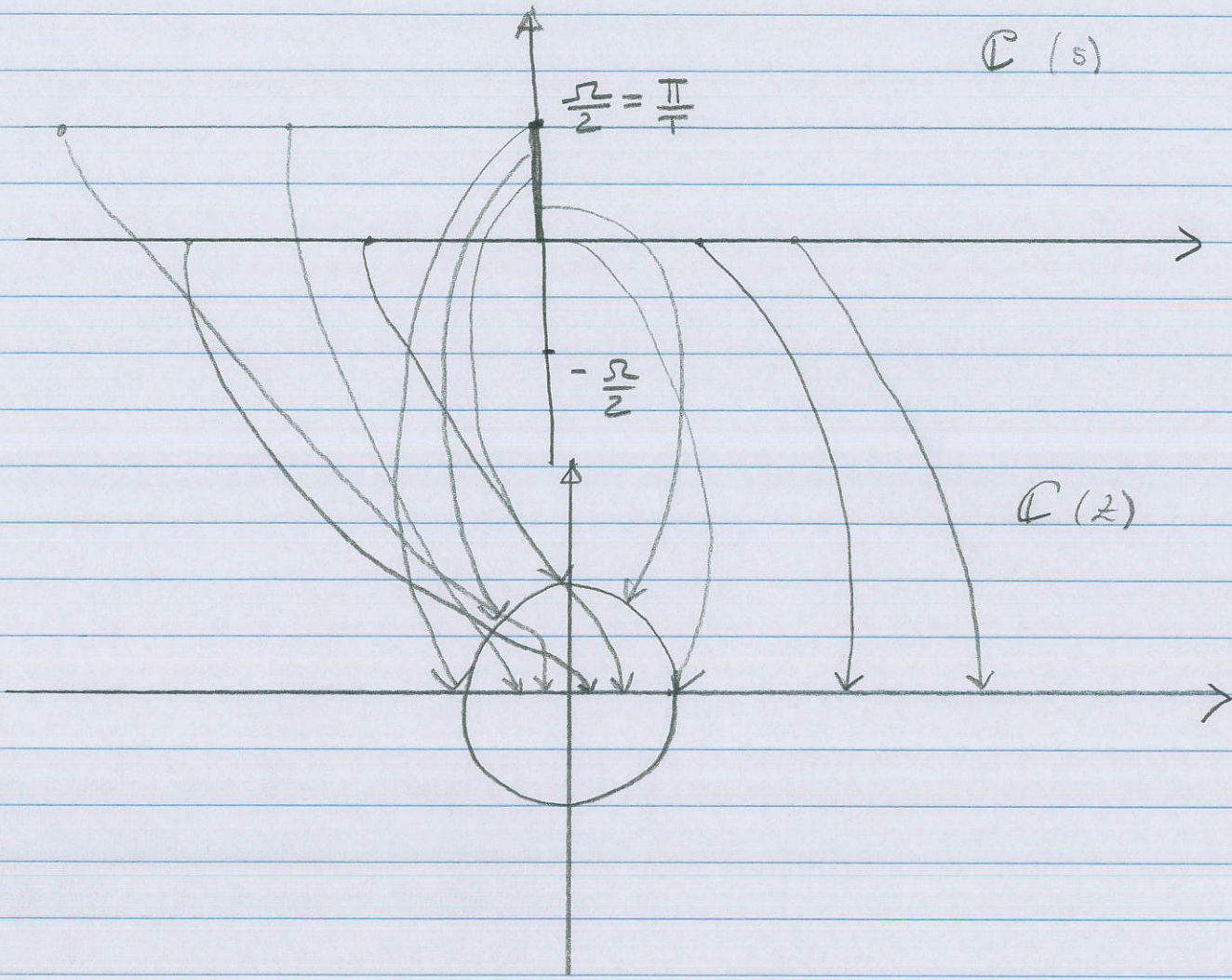
$\Im m(k)$ è comb. lin. di

$$\binom{k}{l-1}, \binom{k}{l-2}, \dots, \binom{k}{1}.$$

Si noti che la mappa $s \mapsto z = e^{sT} \underline{\text{mon}}$ è iniettiva; infatti è addirittura periodica rispetto all'asse immaginario:

$$e^{sT} = e^{(s + j \frac{2\pi l}{T})T} \quad \forall l = 0, \pm 1, \dots$$

Possiamo però restringere la mappa alla fascia principale, cioè per $-\frac{\pi}{T} < \operatorname{Im}(s) \leq \frac{\pi}{T}$, dove la mappa è iniettiva, e vedere come si comporta.



Si nota che la mappa non è suriettiva perché \exists

$$\text{s.t.c. } e^{sT} = 0 \quad (\text{scerebbe } s = -\infty).$$

Inoltre,

$$\text{Se } \sigma := \operatorname{Re}(s) < 0 \Rightarrow |e^{sT}| = e^{\sigma T} < 1$$

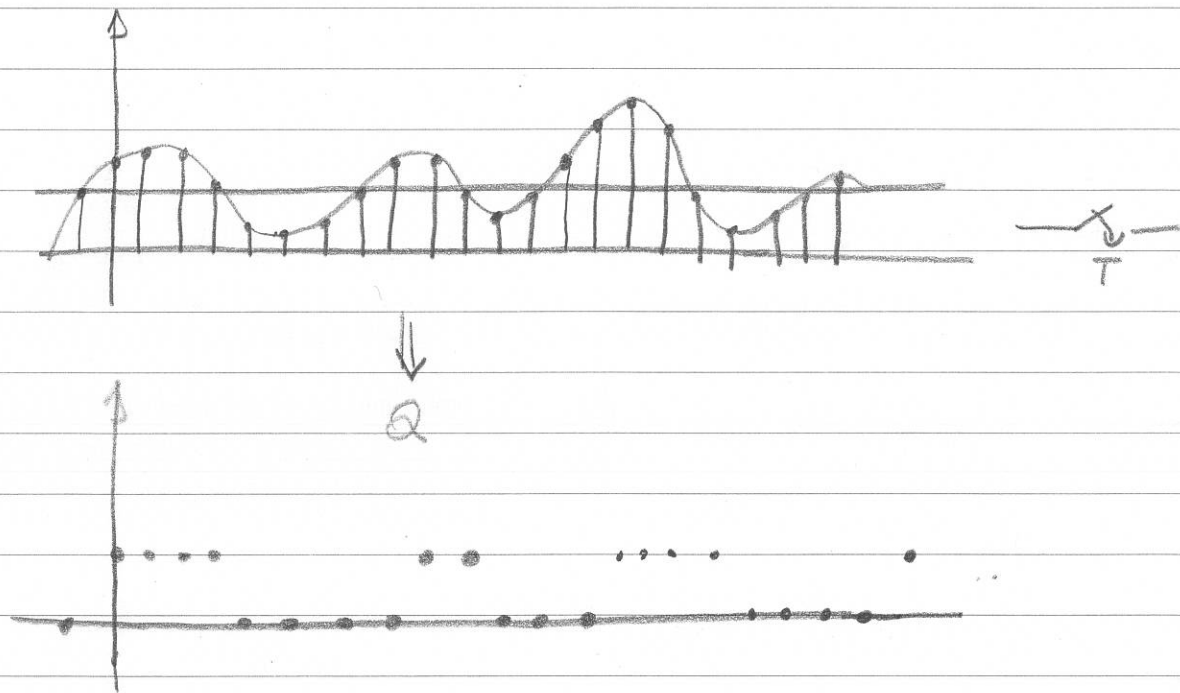
$$\text{Se } \sigma := \operatorname{Re}(s) = 0 \Rightarrow |e^{sT}| = e^{\sigma T} = 1$$

$$\text{Se } \sigma := \operatorname{Re}(s) > 0 \Rightarrow |e^{sT}| > 1$$

Dunque la mappa preserva la regione di stabilità del cont. ed discreto.

QUANTIZZAZIONE

Anche la quantizzazione introduce una distorsione. Il caso limite è il 1-bit quantizzatore:



Questa distorsione è molto difficile da evitare, però se la quantizzazione è sufficientemente fine la distorsione si può trascurare. In generale la quantizzazione si modellizza con un rumore additivo $N(t)$ con $|N(t)| < \frac{q}{2}$.